

Einführung in die Computergrafik

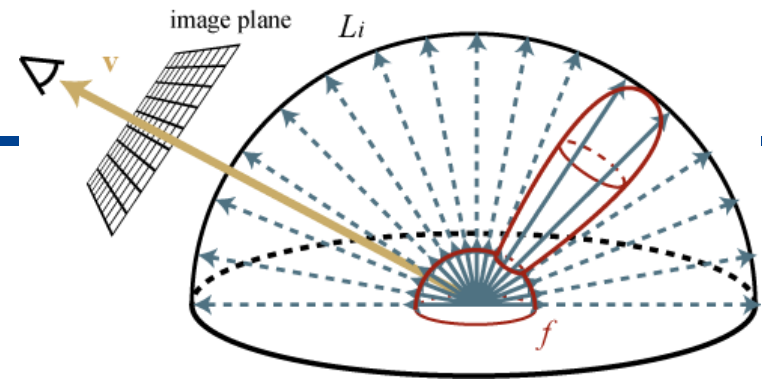
Matthias B. Hullin

Institut für Informatik II, Universität Bonn

Monte Carlo- Integration

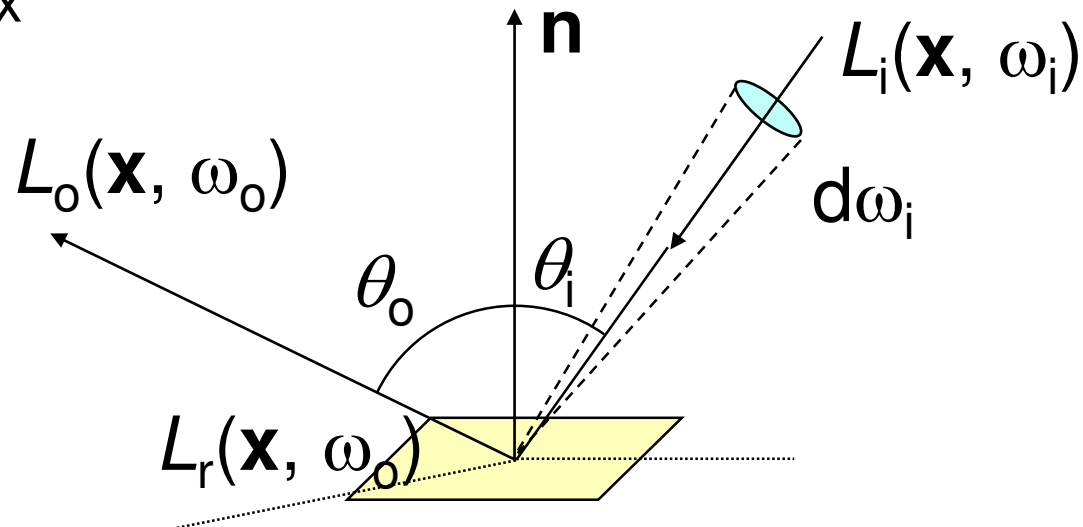
Enthält Material von Jaroslav Křivánek, MFF UK

Reflexionsgleichung



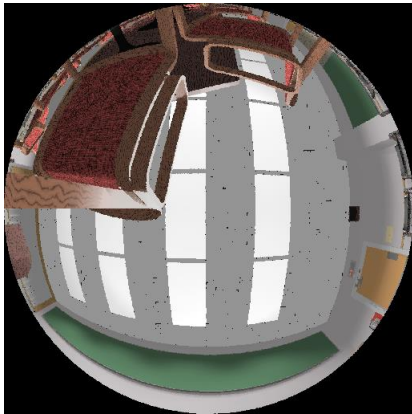
$$L_r(\mathbf{x}, \omega_o) = \int L_i(\mathbf{x}, \omega_i) \cdot f_r(\mathbf{x}, \omega_i \rightarrow \omega_o) \cdot \cos \theta_i \, d\omega_i$$

Halbkugel
über x



Rendering = Integrieren von Funktionen

$$L_r(\mathbf{x}, \omega_o) = \int_{H(\mathbf{x})} L_i(\mathbf{x}, \omega_i) f_r(\mathbf{x}, \omega_i \rightarrow \omega_o) \cos \theta_i d\omega_i$$



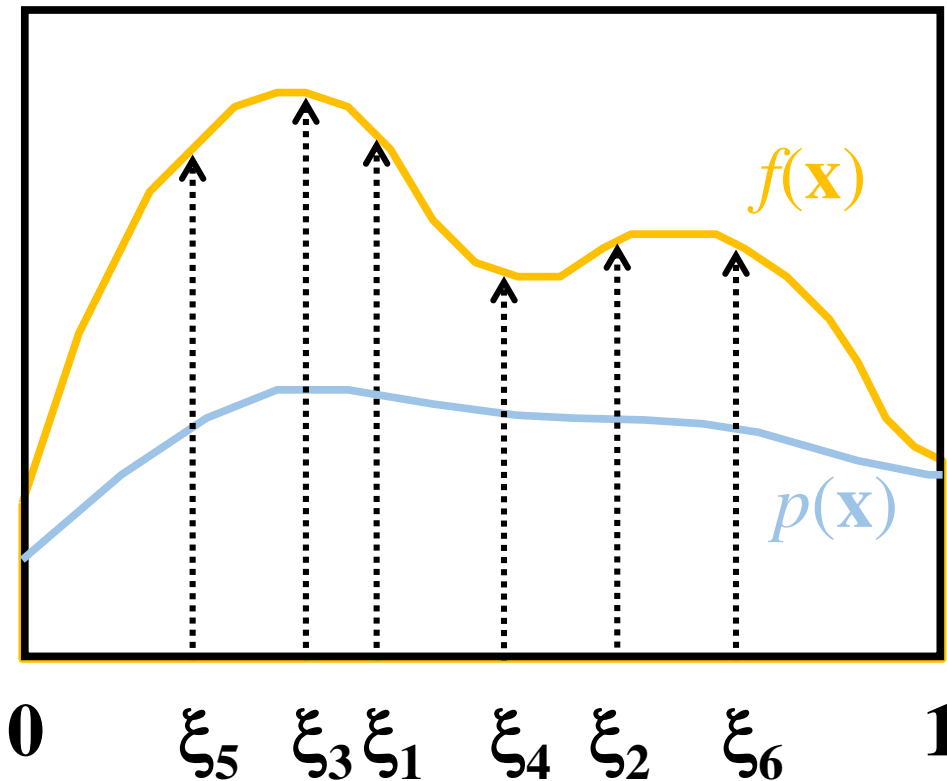
Ankommende
Strahldichte
(Radianz) $L_i(\mathbf{x}, \omega_i)$
für einen Punkt am
Boden

- Probleme
 - Unstetiger Integrand (Sichtbarkeit)
 - Beliebige große Werte im Integranden (z.B. Lichtverteilung in Kaustiken, BRDFs von glänzenden Flächen)
 - Komplexe Geometrie

Bilder: Greg Ward

Monte-Carlo-Integration

- Allgemeines Werkzeug zur Schätzung bestimmter Integrale



Integral:

$$I = \int f(\mathbf{x}) d\mathbf{x}$$

Monte-Carlo-Schätzwert für I :

$$\langle I \rangle = \frac{1}{N} \sum_{i=1}^N \frac{f(\xi_i)}{p(\xi_i)}; \quad \xi_i \propto p(\mathbf{x})$$

“Im Mittel” funktioniert es:

$$E[\langle I \rangle] = I$$

Anwendung von MC auf Reflexionsgleichung

- Schätzer für reflektierte Strahldichte
- Zu schätzendes Integral

$$\int_{H(\mathbf{x})} L_i(\mathbf{x}, \omega_i) f_r(\mathbf{x}, \omega_i \rightarrow \omega_o) \cos \theta_i d\omega_i$$

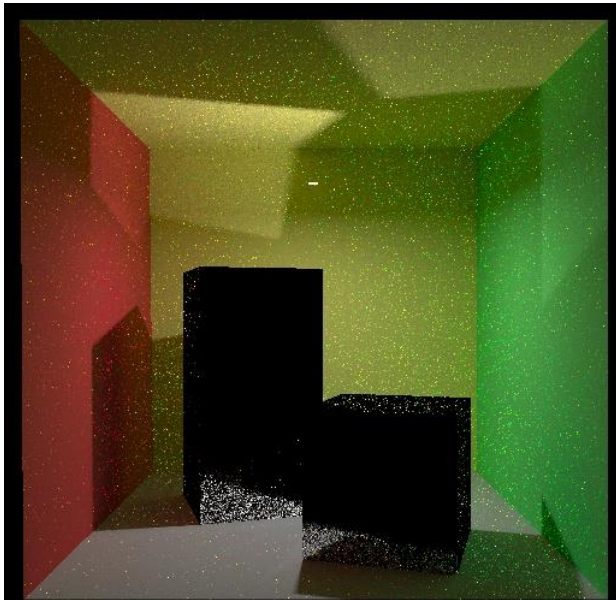
- PDF für cosinus-proportionale Abtastung:

$$p(\omega) = \frac{\cos \theta}{\pi}$$

- **MC-Schätzer:**

$$\begin{aligned} F_N &= \frac{1}{N} \sum_{k=1}^N \frac{\text{integrand}(\omega_{i,k})}{\text{pdf}(\omega_{i,k})} \\ &= \frac{\pi}{N} \sum_{k=1}^N L_i(\mathbf{x}, \omega_{i,k}) f_r(\mathbf{x}, \omega_{i,k} \rightarrow \omega_o) \end{aligned}$$

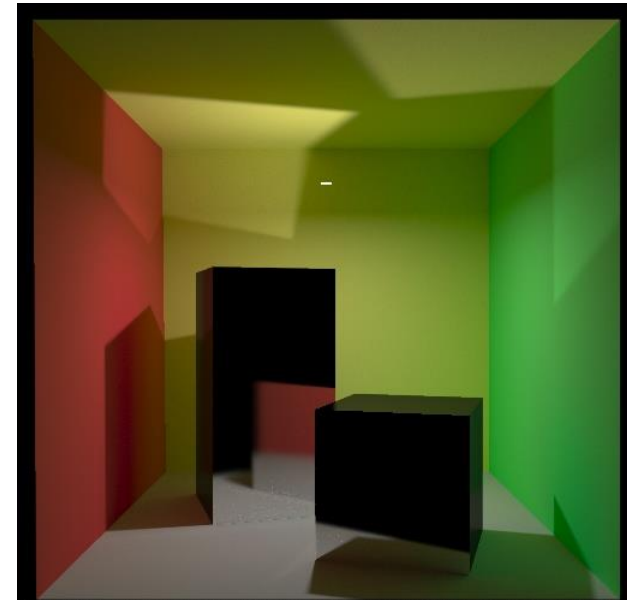
Varianz => Bildrauschen



er Alpha | Intel Core i7-2600 CPU @ 3.40GHz | Time: 0:4:4 | Passes: 20 | Primitives: 44 | Rays/s: 2,032,323



er Alpha | Intel Core i7-2600 CPU @ 3.40GHz | Time: 0:4:5 | Passes: 15 | Primitives: 44 | Rays/s: 2,158,418



er Alpha | Intel Core i7-2600 CPU @ 3.40GHz | Time: 0:3:59 | Passes: 716 | Primitives: 44 | Rays/s: 8,690,916

... und jetzt nochmal
langsam

Numerische Quadratur

Numerische Integration in 1-D

- **Ziel:** Integriere Funktion $f(x)$ zwischen a und b

$$I = \int_a^b f(x) dx$$

- **Allgemeine Idee:** Näherung durch gewichtete Summe von Funktionswerten

$$I \approx \hat{I} = \sum_{i=1}^n w_i f(x_i)$$

Quadraturformeln für numerische Integration

- Allgemeine Formel in 1D:

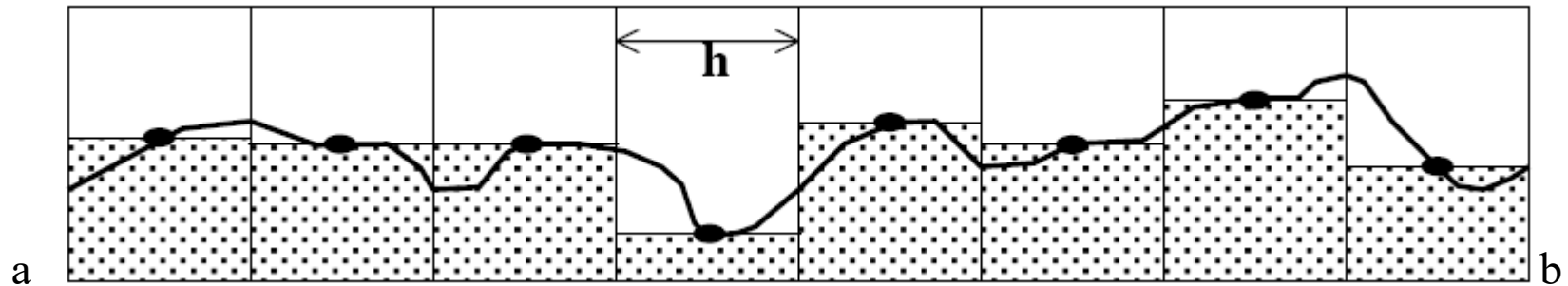
$$\hat{I} = \sum_{i=1}^n w_i f(x_i)$$

f Integrand (die zu integrierende Funktion)
 n Quadratur-Ordnung (Zahl von Messstellen des Integrands)
 x_i Knotenpunkte (Ort der Messungen)
 $f(x_i)$ Integrandenwerte an Knotenpunkte
 w_i Quadraturgewichte

Quadraturformeln für numerische Integration

- Quadraturregeln unterscheiden sich nach der Wahl der Knotenpunktpositionen x_i und der Gewichte w_i
 - z.B. Rechteckregel, Trapezregel, Simpson's Method, Gauss-Quadratur, ...
- Knotenpunkte werden deterministisch platziert

Mittelpunktregel

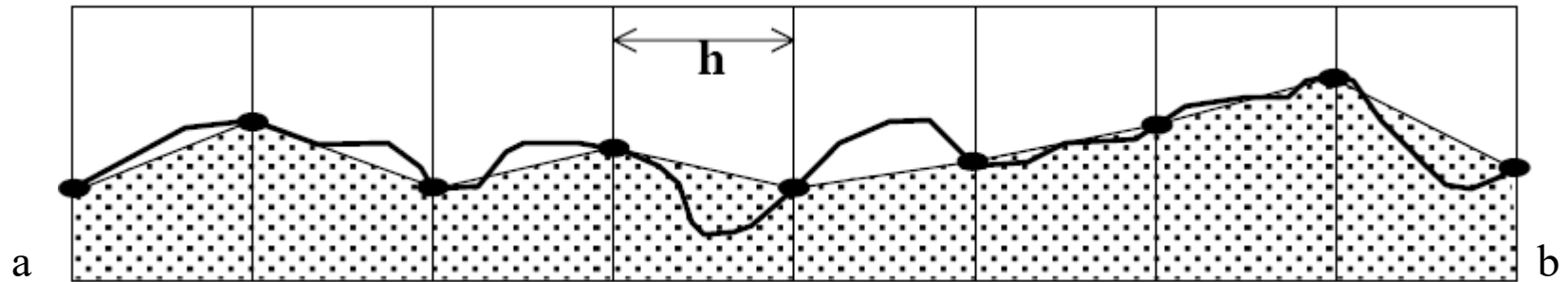


$$\begin{aligned}\hat{I} &= h \sum_{i=1}^n f\left(a + \left(i - \frac{1}{2}\right)h\right) \\ &= h \left[f\left(a + \frac{h}{2}\right) + f\left(a + \frac{3h}{2}\right) + \cdots + f\left(b - \frac{h}{2}\right) \right]\end{aligned}$$

Konvergenz

$$\exists \xi \in [a, b]: \quad \hat{I} - I = -\frac{(b-a)^3}{24n^2} f''(\xi) = O(n^{-2})$$

Trapezregel



$$\begin{aligned}\hat{I} &= \sum_{i=1}^n \frac{h}{2} [f(a + (i-1)h) + f(a + ih)] \\ &= h \left[\frac{1}{2}f(a) + f(a+h) + f(a+2h) + \cdots + f(b-h) + \frac{1}{2}f(b) \right]\end{aligned}$$

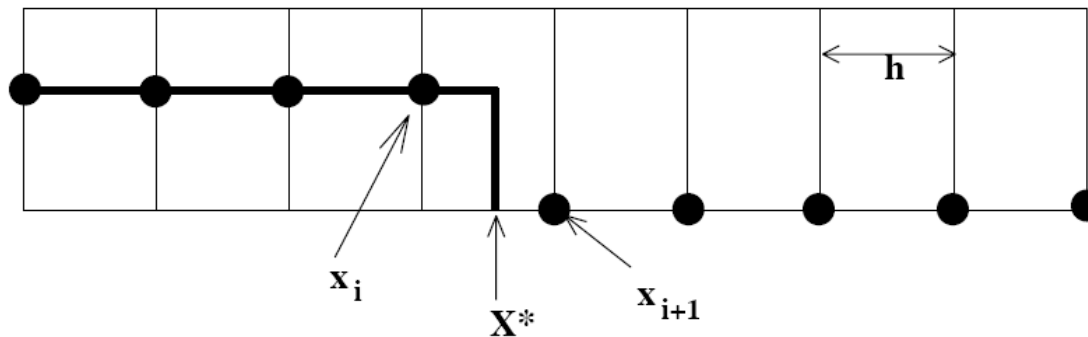
Konvergenz

$$\exists \xi^* \in [a, b]: \quad \hat{I} - I = \frac{-(b-a)^3}{12n^2} f''(\xi^*) = O(n^{-2})$$

Unstetige Funktionen

- Konvergenz 1-D:
 - Unstetigkeit ist bis auf Genauigkeit h lokalisiert

- $O(I - \hat{I}) = O(h) = O\left(\frac{b-a}{n}\right) = O(n^{-1})$



- s -D: $O(n^{-1/s})$

„Curse of Dimensionality“

- Für eine s -dimensionale Funktion f :

$$\hat{I} = \sum_{i_1=1}^n \sum_{i_2=1}^n \cdots \sum_{i_s=1}^n w_{i_1} w_{i_2} \cdots w_{i_s} f(x_{i_1}, x_{i_2}, \dots, x_{i_s})$$

- mit Gewichten w_{ij} .
- Für ähnliche Ergebnisse wie in 1D, benötigen wir hier n^s Stützstellen (f muss n^s -mal ausgewertet werden)
- Konvergenzrate fällt auf $O(n^{-r/s})$
 - Ausgehend von einer 1D-Quadratur, die mit $O(n^{-r})$ konvergiert
 - Langsame Konvergenz für höhere Dimensionalität
 - Exponentiell langsamer mit steigender Dimension

- **Deterministische Quadratur vs. Monte Carlo**
 - In 1D: deterministisch besser als Monte Carlo
 - In 2D etwa gleichwertig
 - Ab 3D: MC immer besser
- Quadraturregeln sind NICHT die Monte-Carlo-Methode

Monte Carlo

Geschichte der Monte-Carlo-Methode

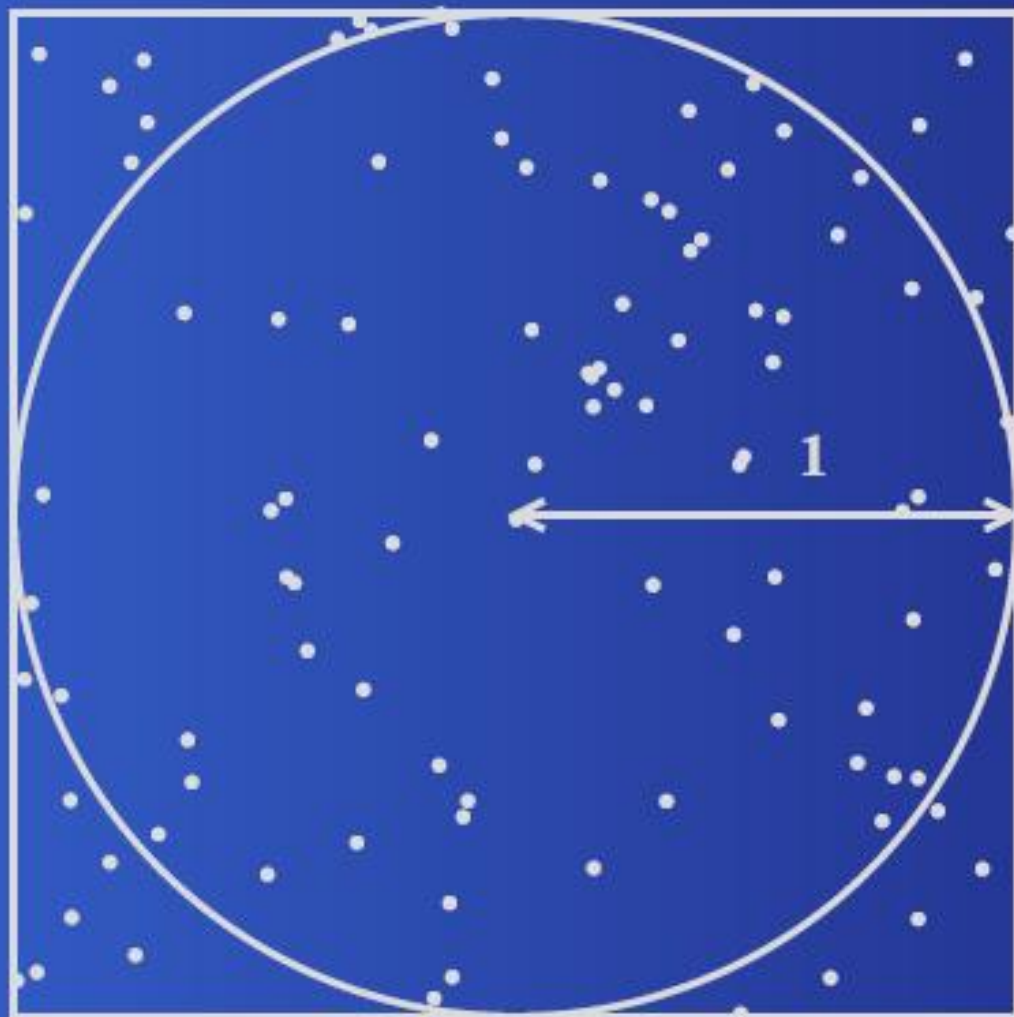
- Entwicklung der Atombombe, Los Alamos 1940
John von Neumann, Stanislav Ulam, Nicholas Metropolis
- Weitere Entwicklung und praktische Anwendungen ab den frühen 50ern

- Wir simulieren viele zufällige Vorkommnisse des gleichen Ereignistyps, e.g.:
 - Neutronen – Emission, Absorption, Kollision mit Wasserstoffkernen
 - Verhalten von Computernetzwerken, Verkehrssimulation.
 - Soziologische und ökonomische Modelle – Demographie, Inflation, Versicherung, usw.

Monte Carlo – Anwendungen

- Finanzmarktsimulationen
- Verkehrsflusssimulationen
- Umweltwissenschaften
- Teilchenphysik
- Quantenfeldtheorie
- Astrophysik
- Molekularmodelle
- Halbleitergeräte
- Optimierungsprobleme
- **Lichtausbreitungsberechnung**
- ...

Example: calculation of π



Area of square: $A_s = 1 \cdot 1 = 1$

Area of circle: $A_c = \pi$

Fraction p of random points inside circle:

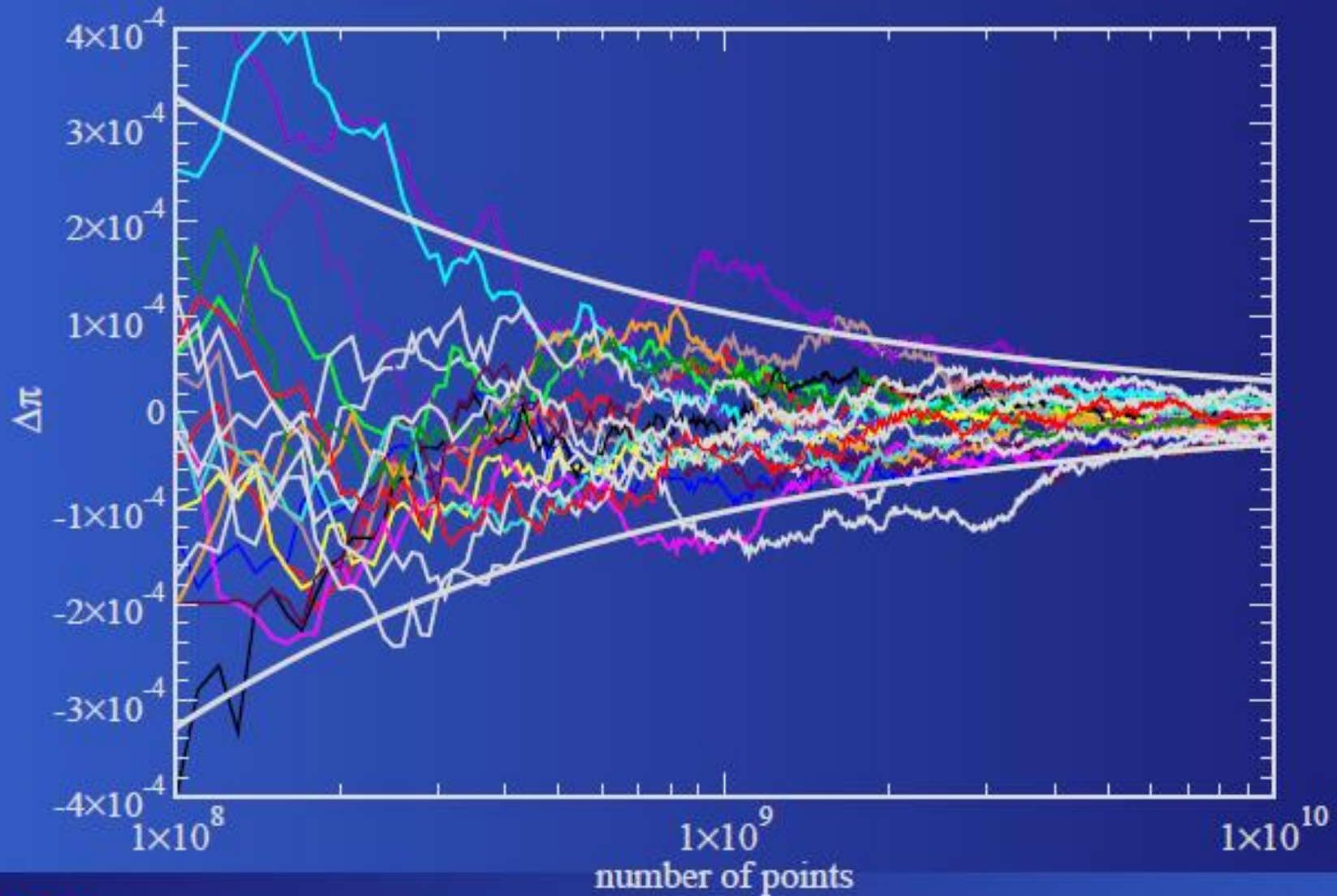
$$p = \frac{A_c}{A_s} = \frac{\pi}{4}$$

Random points: N

Random points inside circle: N_c

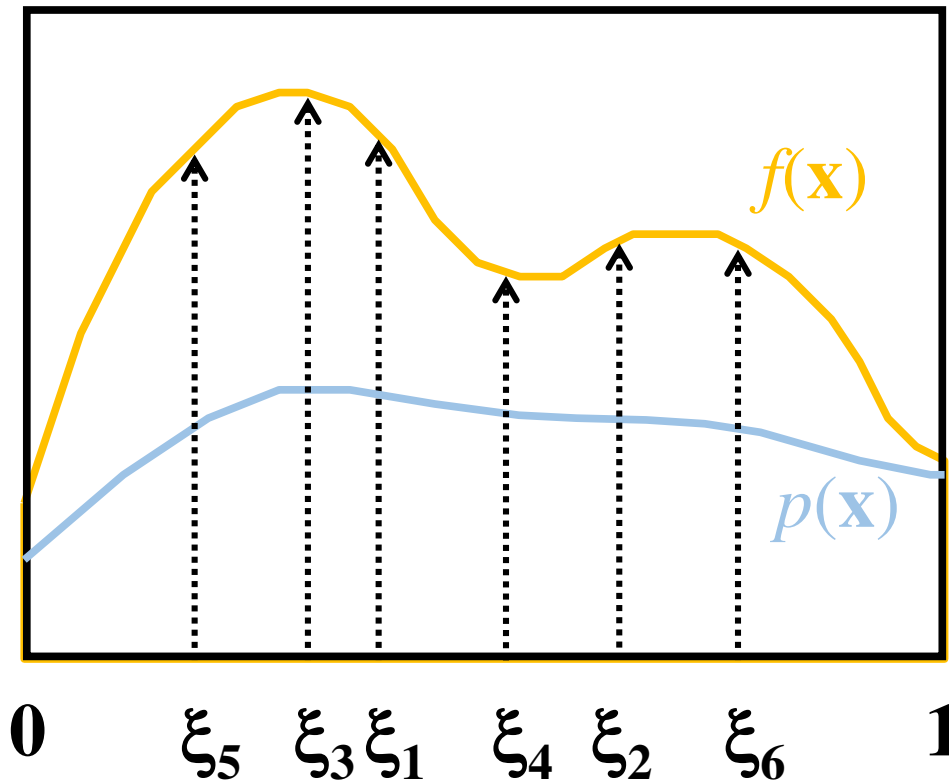
$$\Rightarrow \pi = \frac{4N_c}{N}$$

Calculation of π (cont'd)



Monte-Carlo-Integration

- Allgemeines Werkzeug zur Schätzung bestimmter Integrale



Integral:

$$I = \int f(\mathbf{x}) d\mathbf{x}$$

Monte-Carlo-Schätzwert für I :

$$\langle I \rangle = \frac{1}{N} \sum_{i=1}^N \frac{f(\xi_i)}{p(\xi_i)}; \quad \xi_i \propto p(\mathbf{x})$$

“Im Mittel” funktioniert es:

$$E[\langle I \rangle] = I$$

Monte-Carlo-Integration

- Stützstellen werden zufällig (oder pseudozufällig) platziert
- Konvergenz der Varianz: $\sigma^2 = O(N^{-1})$
(Standardabweichung: $\sigma = O(N^{-1/2})$)
 - **Konvergenz unabhängig von Dimension**
 - **Schneller als klassische Quadraturregeln** für 3 und mehr Dimensionen
- Spezielle Verfahren zur Wahl von Stützstellen existieren
 - Quasi-Monte Carlo
 - Schnellere asymptotische Konvergenz als MC für "glatte" Funktionen

- **Vorteile**

- Einfach zu implementieren
- Robuste Lösung für komplexe Integrande und Integrationsgebiete
- Effektiv für hochdimensionale Integrale

- **Nachteile**

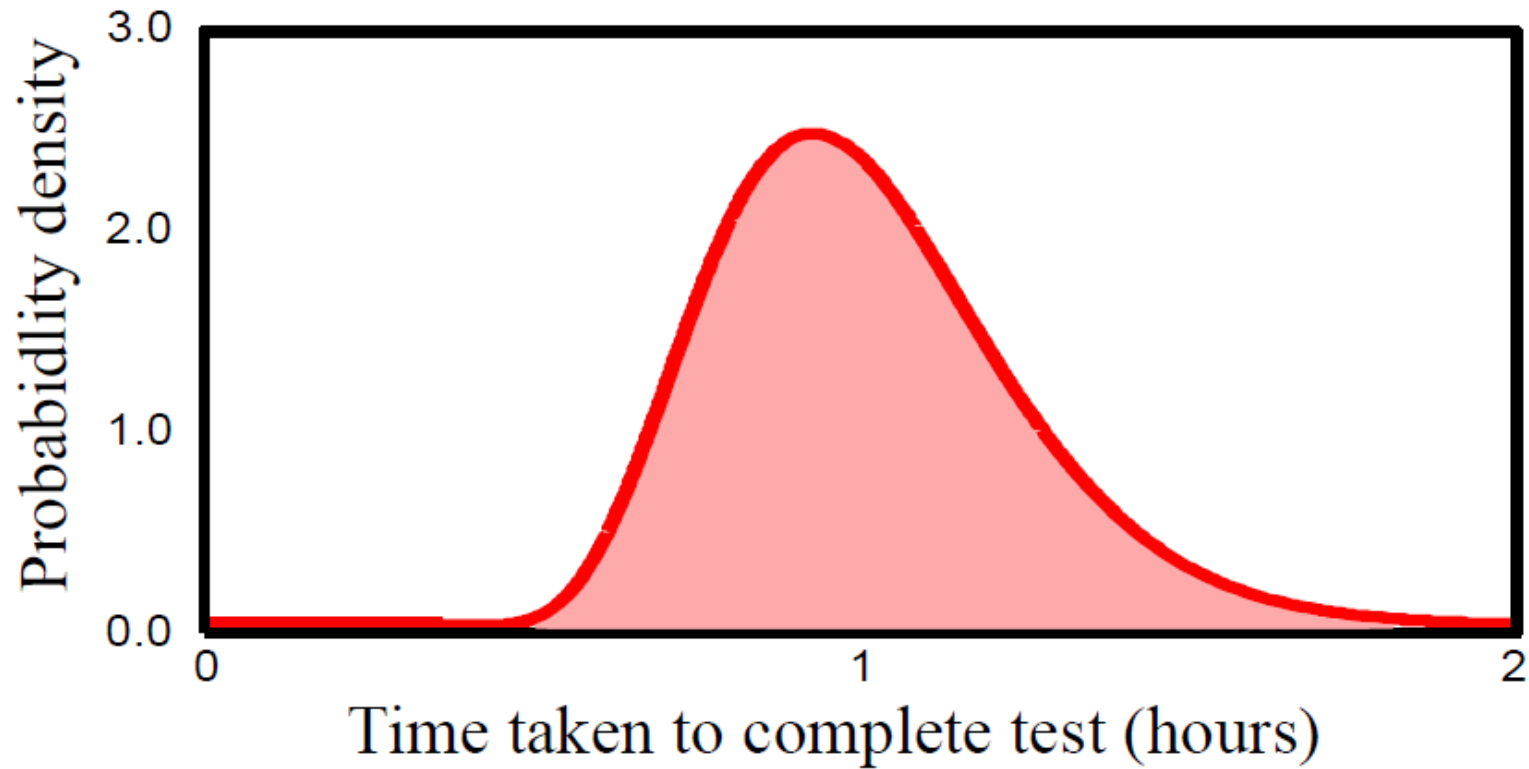
- Relativ langsame Konvergenz – um die Standardabweichung zu halbieren, braucht es viermal so viele Samples
- Rendering: Bilder enthalten Rauschen, das langsam verschwindet

Zufallsvariablen

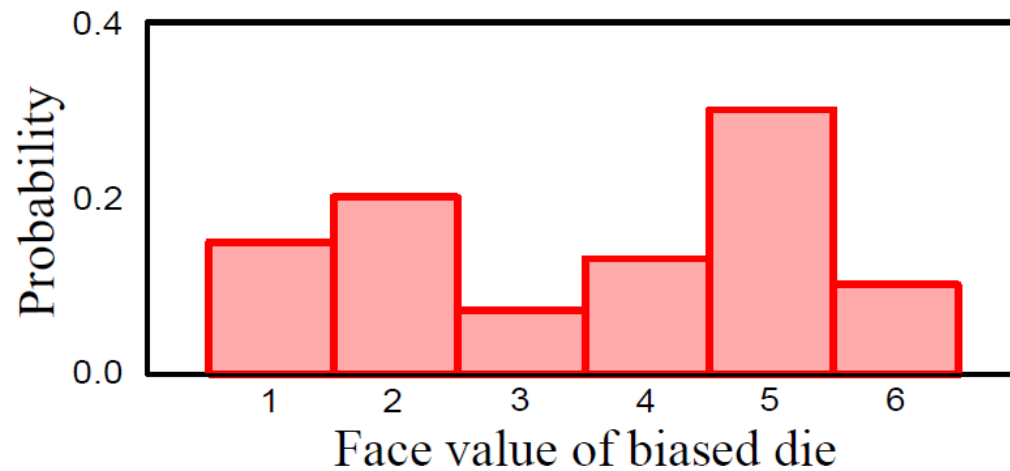
Zufallsvariablen

- Eine Zufallsvariable X beschreibt eine Größe, die unsicher ist
- Es kann sich um das Ergebnis eines Experiments (Münze werfen) or einer realweltlichen Messung handeln (z.B. Temperatur messen)
- Wenn wir das Experiment mehrmals ausführen, erhalten wir verschiedene Werte
- Einige Werte treten häufiger auf. Diese Information wird von einer Wahrscheinlichkeitsverteilung dargestellt.

Kontinuierliche Zufallsvariable



Diskrete Zufallsvariablen



Zufallsvariable

- Zufallsvariable X
 - Eine Funktion, um Ergebnisse zufälliger Experimente zu repräsentieren
 - Z.B. Münzwurf:

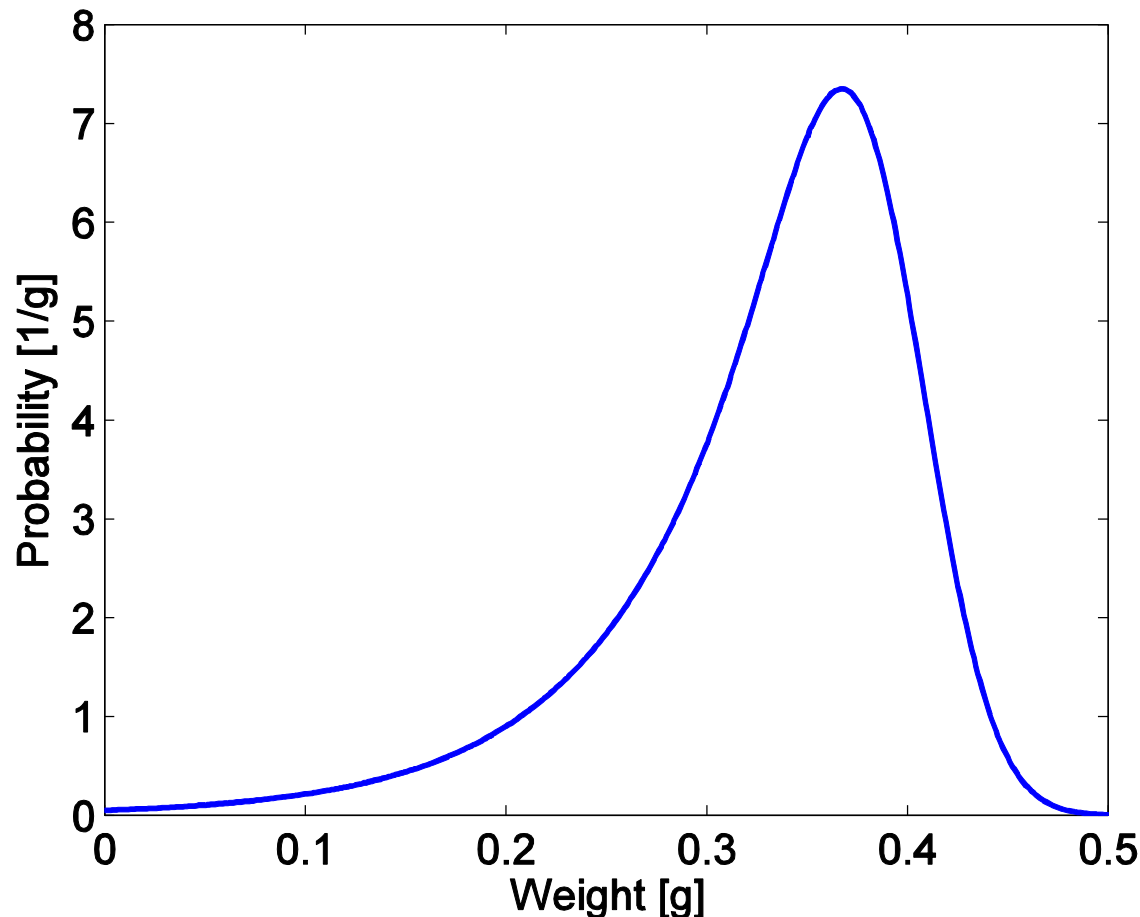
$$X(\omega) = \begin{cases} 0, \omega = \text{Kopf} \\ 1, \omega = \text{Zahl} \end{cases}$$

- $Y = f(X)$ ist auch eine Zufallsvariable



Wahrscheinlichkeitsdichtefunktion (PDF)

- engl. Probability Density Function
- Beschreibt Verteilung kontinuierlicher Zufallsvariablen
 - z.B. Wahrscheinlichkeitsdichte für Gewicht von Erbsen



Wahrscheinlichkeitsdichtefunktion (PDF)

- **PDF** $p(x)$ beschreibt Verteilung von kontinuierlicher Zufallsvariable
- Nichtnegativ, aber womöglich keine obere Schranke
- Integriert zu 1 ("*partition of unity*")
- Wahrscheinlichkeit für Ereignisse in $[x_1, x_2]$:

$$\Pr(\{x: x_1 \leq x \leq x_2\}) = \int_{x_1}^{x_2} p(x) dx$$

Kumulative Dichtefunktion (CDF)

- Berechnet aus PDF durch Integration

$$P(x) = \Pr\{X \leq x\}$$

$$\Pr\{X \leq x\} = \int_{-\infty}^x p(x') dx'$$

- PDF ist Änderungsrate der kumulativen Wahrscheinlichkeit

$$dP(x) = p(x)dx \quad \leftrightarrow \quad p(x) = \frac{dP(x)}{dx}$$

Kumulative Dichtefunktion (CDF)

- PDF

$$p(x) = \begin{cases} 1, & 0 < x < 1 \\ 0, & \text{sonst} \end{cases}$$

- CDF

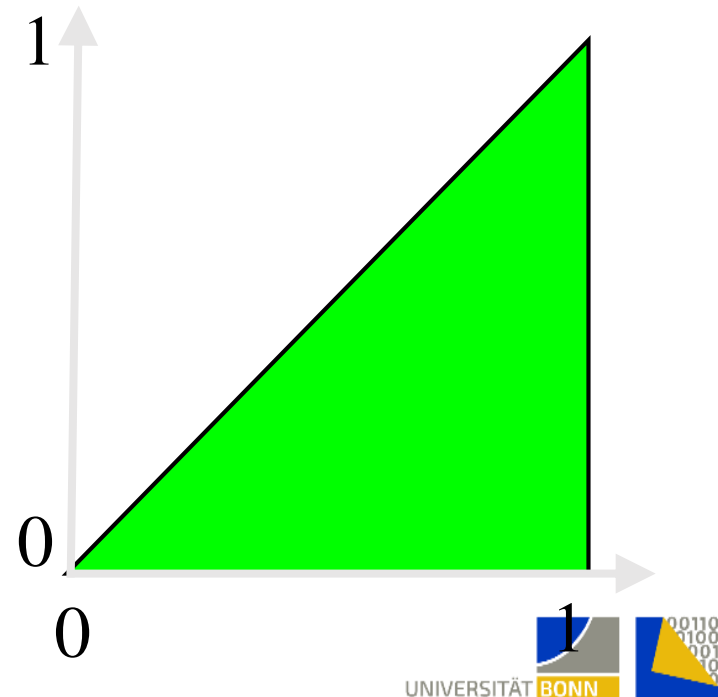
$$P(x) = \Pr(X < x)$$

$$P(x) = \int_0^x p(x') dx'$$

$$\begin{aligned} \Pr(\alpha \leq X \leq \beta) &= \int_{\alpha}^{\beta} p(x') dx' \\ &= P(\beta) - P(\alpha) \end{aligned}$$

Achtung:

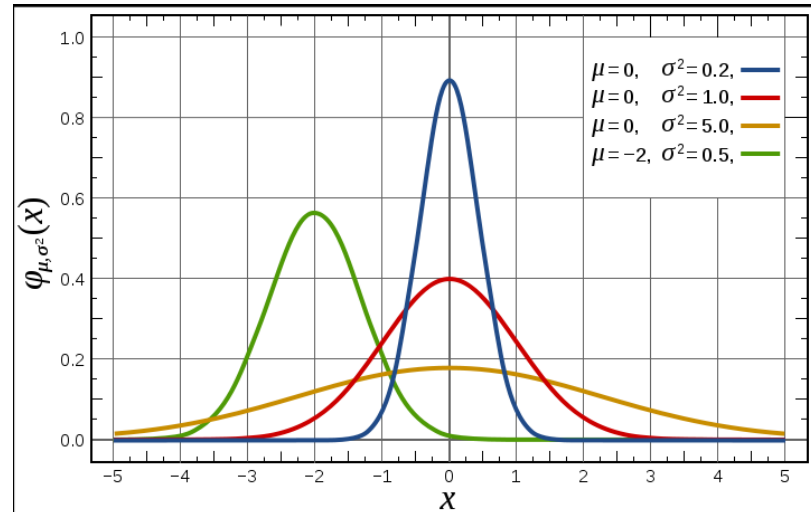
$$\begin{aligned} &\Pr(X = \alpha) \\ &= P(\alpha) - P(\alpha) \\ &= 0 \end{aligned}$$



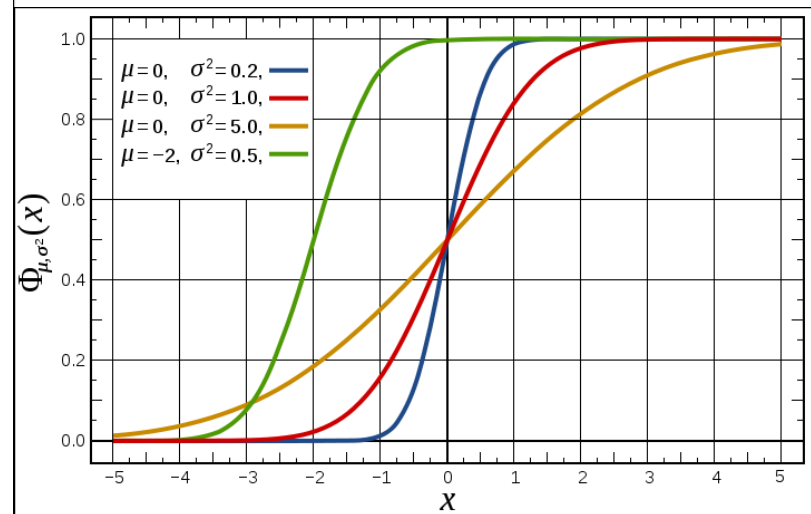
Kontinuierliche Zufallsvariable (2)

Gaußsche (Normal-) Verteilung

Wahrscheinlichkeitsdichte
(PDF)



Kumulative Verteilung
(CDF)



Wikipedia

Diskrete Zufallsvariable

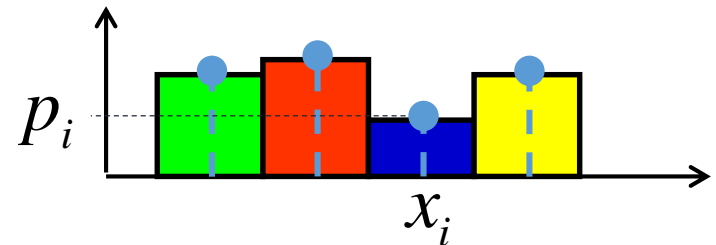
- Endliche Menge von Werten für x_i
- Jedes tritt mit Wahrscheinlichkeit p_i ein

$$p_i \equiv \Pr(X = x_i) \geq 0 \quad \sum_{i=1}^n p_i = 1$$

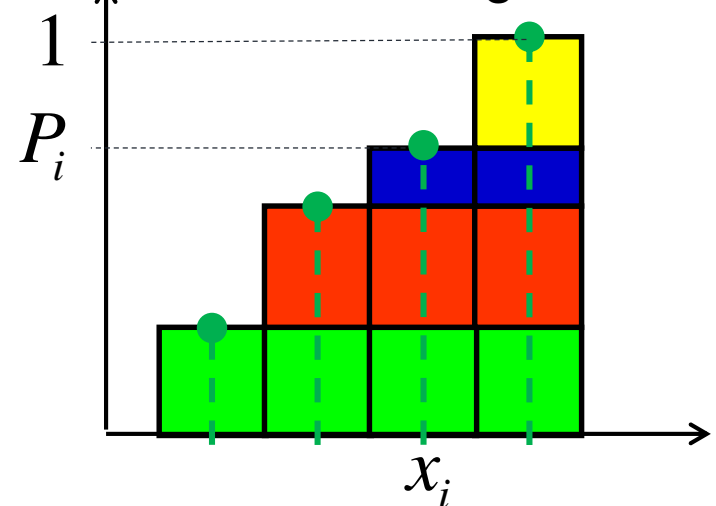
- **Kumulative Verteilungsfunktion**

$$P_i \equiv \Pr(X \leq x_i) = \sum_{j=1}^i p_j \quad P_n = 1$$

Wahrscheinlichkeitsmasse



Kumulative Verteilungsfunktion



Erwartungswert und Varianz

- **Erwartungswert**

$$E[X] = \int_D \mathbf{x} p(\mathbf{x}) d\mathbf{x}$$

- **Varianz**

$$\begin{aligned} V[X] &= E[(X - E[X])^2] \\ &= E[X^2 - 2XE[X] + E[X]^2] \\ &= E[X^2] - E[X]^2 \end{aligned}$$

- **Eigenschaften der Varianz**

$$V\left[\sum_i X_i\right] = \sum_i V[X_i] \quad (\text{wenn } X_i \text{ unabhängig})$$

$$V[aX] = a^2 V[X]$$

Transformation einer Zufallsvariablen

- Y ist Zufallsvariable $Y = f(X)$
- Erwartungswert von Y

$$E[Y] = \int_D f(\mathbf{x}) p(\mathbf{x}) d\mathbf{x}$$

Monte-Carlo-Integration

Schätzer für ein Integral

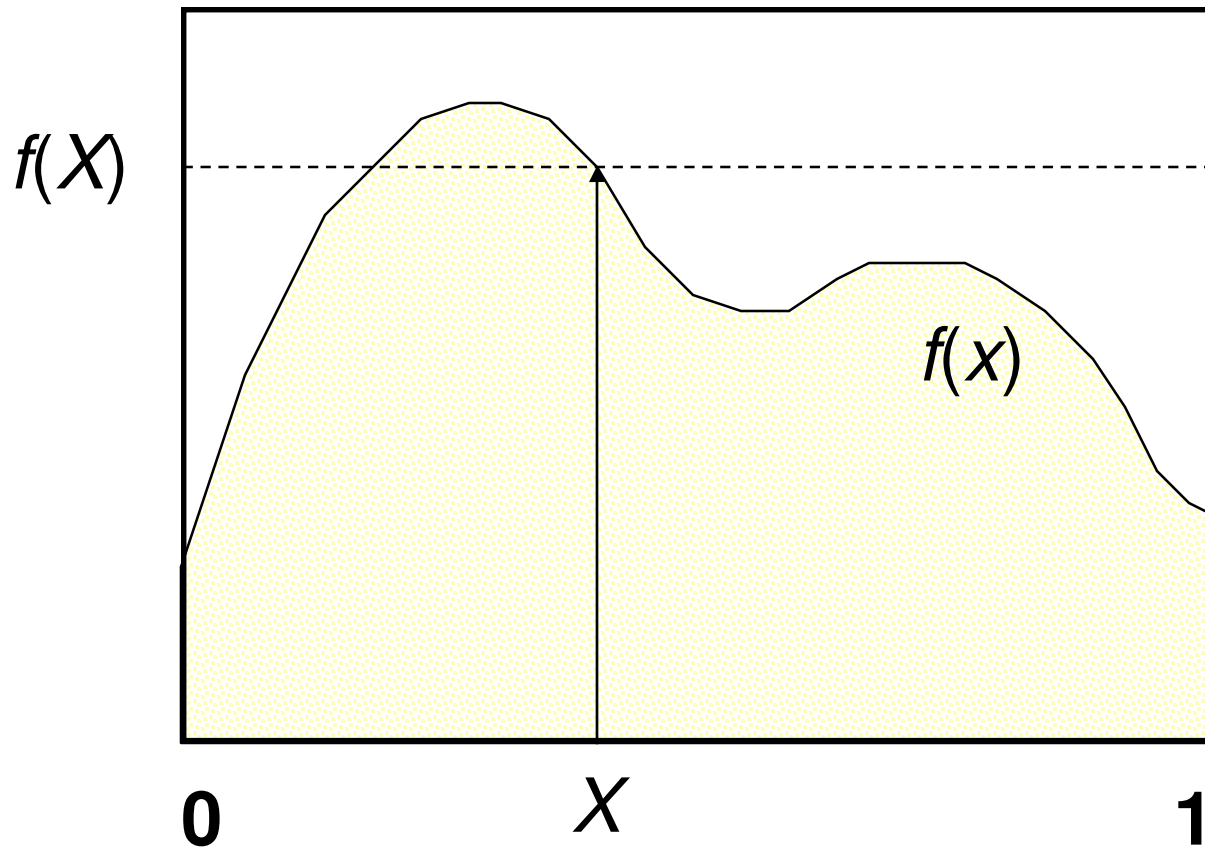
Zu schätzendes Integral:

$$I = \int_{\Omega} f(x) dx$$

Sei X eine Zufallsvariable mit PDF $p(x)$. Dann wird die Zufallsvariable F_{prim} , gegeben durch die Transformation $\frac{f(X)}{p(X)}$, **Primärschätzer** (primary estimator) des obigen Integrals genannt.

$$F_{\text{prim}} = \frac{f(X)}{p(X)}$$

Primärschätzer eines Integrals



Schätzer vs. Schätzung

- **Schätzer (estimator) ist eine Zufallsvariable**
 - Definiert durch Transformation einer anderen Zufallsvariablen
- **Schätzung (estimate) ist eine konkrete Realisierung (Ergebnis) des Schätzers**
- Keine Sorge: diese Unterscheidung ist vor allem für Beweise wichtig, in der Praxis aber weniger.

Erwartungswert

- **Ziel:** MC-Integration einer Funktion $f(x)$ durch Ziehen von Werten gemäß einer PDF $p(x)$
- Erwartungswert von $f(x)$ bezüglich $p(x)$ (Gebiet D)
$$E_p[f(x)] = \int_D f(x) p(x) dx \quad E_p[f(x)] = \sum_x f(x) p(x)$$

(kontinuierlich) (diskret)

= gewichteter Mittelwert

- Gewichtung gemäß einer Wahrscheinlichkeit (PDF).

$$dx \rightarrow p(x)dx$$

Erwartungswert

- Beispiel: Uniforme Verteilung $p(x) = 1/(b - a)$

- Mittelwert!

$$E_p[f(x)] = \int_a^b f(x) \frac{1}{b-a} dx = \frac{1}{b-a} \int_a^b f(x) dx$$

Erwartungstreuer Schätzer

- Ein allgemeiner statistischer Schätzer heißt **erwartungstreu (unbiased)**, wenn er – “im Mittel” – den korrekten Wert Q einer zu schätzenden Größe liefert (ohne systematischen Fehler).
- Genauer:

$$E[F] = Q$$

Schätzer der Größe Q
(Zufallsvariable)

Geschätzte Größe
(Hier geht es um Integrale, aber es könnte irgendetwas Beliebiges sein. Dies ist eine Zahl, keine Variable)

Erwartungstreuer Schätzer

Der Primärschätzer F_{prim} ist ein erwartungstreuer Schätzer des Integrals I .

Proof:

$$\begin{aligned} E[F_{\text{prim}}] &= \int_{\Omega} \frac{f(x)}{p(x)} p(x) dx \\ &= I \end{aligned}$$

Varianz des Primärschätzers

- Erwartungstreue Schätzer erzeugen einen Fehler statistischer Natur, die Varianz:

$$\underline{V[F_{\text{prim}}]} = \sigma_{\text{prim}}^2 = E[F_{\text{prim}}^2] - E[F_{\text{prim}}]^2 = \int_{\Omega} \frac{f(x)^2}{p(x)} dx - I^2$$

(für einen erwartungstreuen Schätzer)

Wenn wir nur einen einzigen Funktionswert verwenden, ist die Varianz üblicherweise zu hoch.

In der Praxis brauchen wir mehr Werte => Sekundärschätzer.

Sekundärschätzer eines Integrals

- Betrachte N unabhängige Zufallsvariablen X_i
- Der Schätzer F_N gemäß der untenigen Formel heißt **Sekundärschätzer** von I .

$$F_N = \frac{1}{N} \sum_{i=1}^N \frac{f(X_i)}{p(X_i)}$$

- Als Mittelwert erwartungstreuer Primärschätzer ist auch der Sekundärschätzer erwartungstreu.

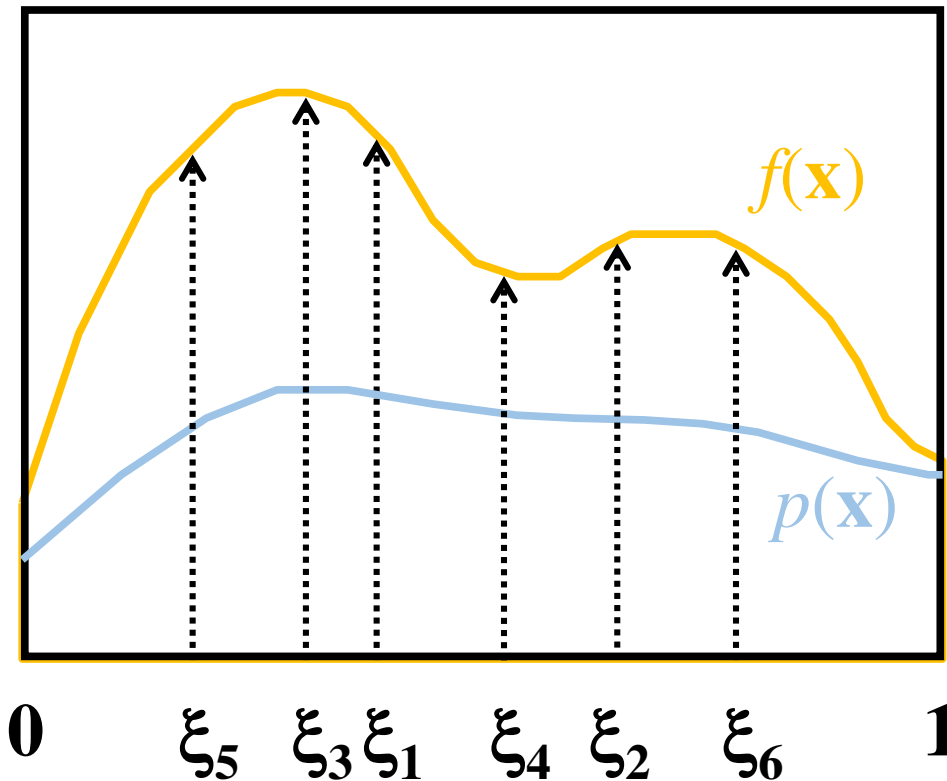
Varianz des Sekundärschätzers

$$\begin{aligned} V[F_N] &= V\left[\frac{1}{N} \sum_{i=1}^N \frac{f(X_i)}{p(X_i)}\right] \\ &= \frac{1}{N^2} \cdot N \cdot V\left[\frac{f(X_i)}{p(X_i)}\right] \\ &= \frac{1}{N} V[F_{\text{prim}}] \end{aligned}$$

Varianz ist N -mal kleiner und
Standardabweichung \sqrt{N} -mal
(d.h. Fehler konvergiert mit $1/\sqrt{N}$)

Monte-Carlo-Integration

- Allgemeines Werkzeug zur Schätzung bestimmter Integrale



Integral:

$$I = \int f(\mathbf{x}) d\mathbf{x}$$

Monte-Carlo-Schätzwert für I :

$$\langle I \rangle = \frac{1}{N} \sum_{i=1}^N \frac{f(\xi_i)}{p(\xi_i)}; \quad \xi_i \propto p(\mathbf{x})$$

“Im Mittel” funktioniert es:

$$E[\langle I \rangle] = I$$

Monte-Carlo-Integration illustriert

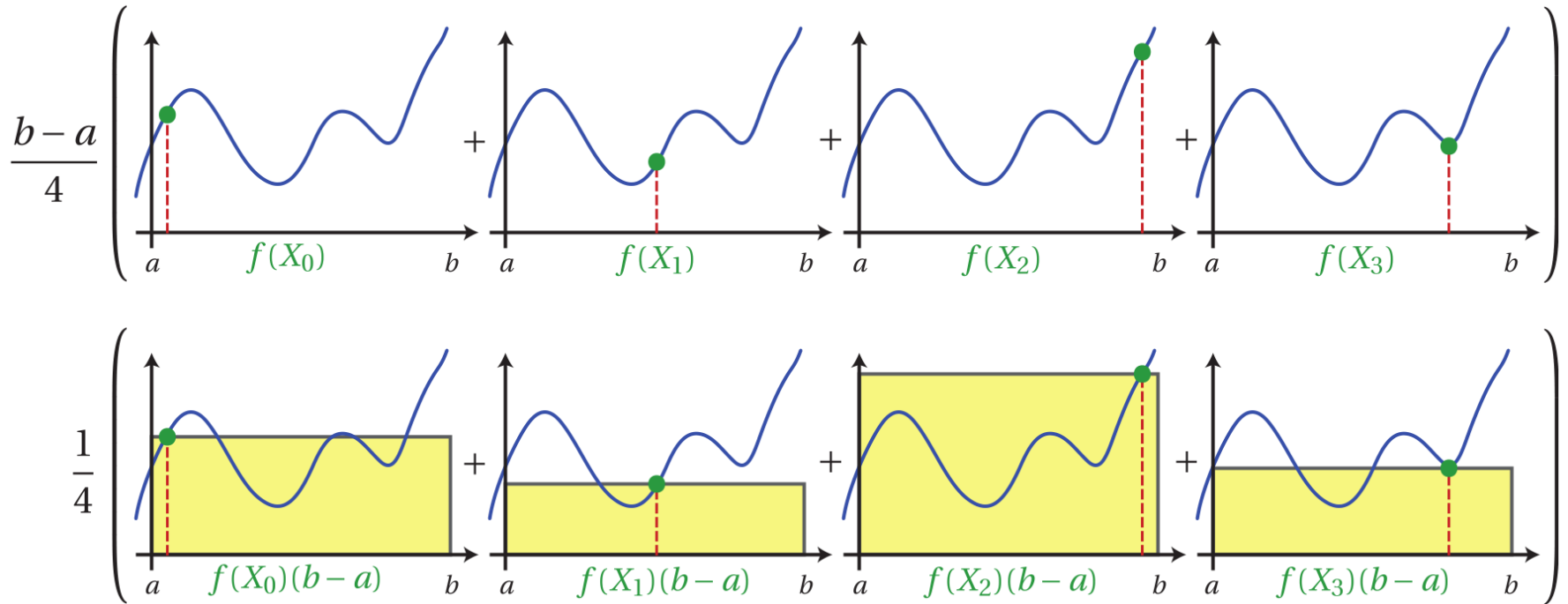


Figure A.1: An illustration of the two interpretations of the basic Monte Carlo estimator in Equation A.12 using four samples: computing the mean value, or height, of the function and multiplying by the interval length (top), or computing the average of several rectangular areas (bottom).

- Quelle: Dissertation Wojciech Jarosz, UC San Diego

Eigenschaften von Schätzern

Erwartungstreuer Schätzer

- Ein allgemeiner statistischer Schätzer heißt **erwartungstreu (unbiased)**, wenn er – “im Mittel” – den korrekten Wert Q einer zu schätzenden Größe liefert (ohne systematischen Fehler).
- Genauer:

$$E[F] = Q$$

Schätzer der Größe Q
(Zufallsvariable)

Geschätzte Größe
(Hier geht es um Integrale, aber es könnte irgendetwas Beliebiges sein. Dies ist eine Zahl, keine Variable)

Bias/Verzerrung eines Schätzers

- Wenn $E[F] \neq Q$

heißt der Schätzer "verzerrt" (*biased*).

- **Bias** ist der systematische Fehler des Schätzers:

$$\beta = Q - E[F]$$

Konsistenz

- Betrachte Sekundärschätzer mit N Samples:

$$F_N = F_N(X_1, X_2, \dots, X_N)$$

- Schätzer F_N ist **konsistent** wenn

$$Pr \left\{ \lim_{N \rightarrow \infty} F_N = Q \right\} = 1$$

d.h., wenn der Fehler $F_N - Q$ **sicher** gegen 0 geht..

Konsistenz

- Hinreichende Bedingung für Konsistenz eines Schätzers:

$$\lim_{N \rightarrow \infty} \beta[F_N] = \lim_{N \rightarrow \infty} V[F_N] = 0$$

↑
bias

- Erwartungstreue an sich ist nicht hinreichend für Konsistenz – die Varianz könnte unendlich sein.
- Aber wenn die Bias verschwindet **und** Varianz eines Primärschätzers endlich ist, ist der dazugehörige Sekundärschätzer zwingend konsistent.

Rendering-Algorithmen

- **Unbiased**
 - Path tracing
 - Bidirectional path tracing
 - Metropolis light transport
- **Biased & Consistent**
 - Progressive photon mapping
- **Biased & not consistent**
 - Photon mapping
 - Irradiance / radiance caching

Effizienz eines Schätzers

- **Effizienz** eines erwartungstreuen Schätzers:

$$\epsilon[F] = \frac{1}{V[F] T[F]}$$

Varianz

Rechenzeit

(z.B. Zahl der verfolgten Strahlen)

MC-Schätzer für Beleuchtungsberechnung

Irradianz-Schätzer – uniformes Sampling

- Zu schätzendes Integral:

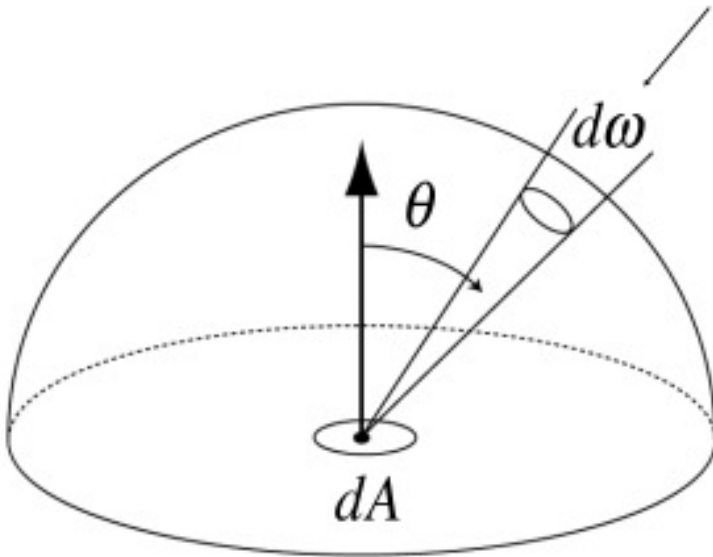
$$E(\mathbf{x}) = \int_{H(\mathbf{x})} L_i(\mathbf{x}, \omega_i) \cdot \cos \theta_i \, d\omega_i$$

- PDF für uniformes Sampling:

$$p(\omega) = \frac{1}{2\pi}$$

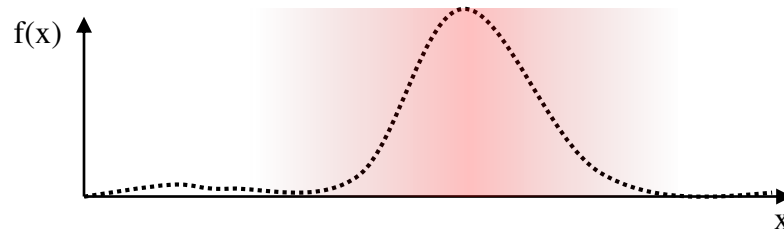
- Schätzer:

$$\begin{aligned} F_N &= \frac{1}{N} \sum_{k=1}^N \frac{f(\omega_{i,k})}{p(\omega_{i,k})} \\ &= \frac{2\pi}{N} \sum_{k=1}^N L_i(\mathbf{x}, \omega_{i,k}) \cdot \cos \theta_{i,k} \end{aligned}$$



Abtaststrategie

- **Idee:** Taste Regionen dichter ab, wenn sie mehr zum Integral beitragen



- $p(x) \sim f(x)$ ist theoretisch optimal (Varianz=0)

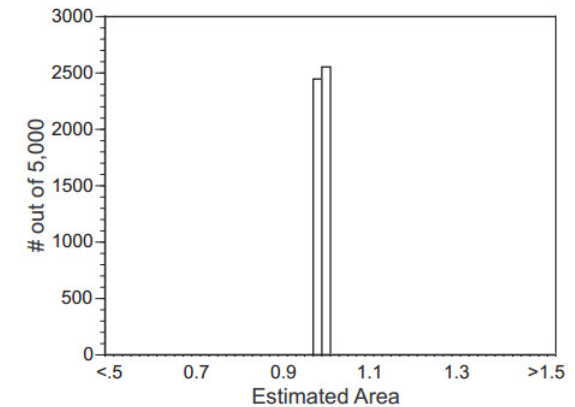
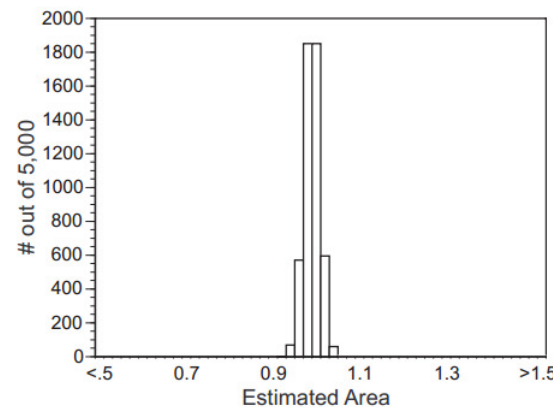
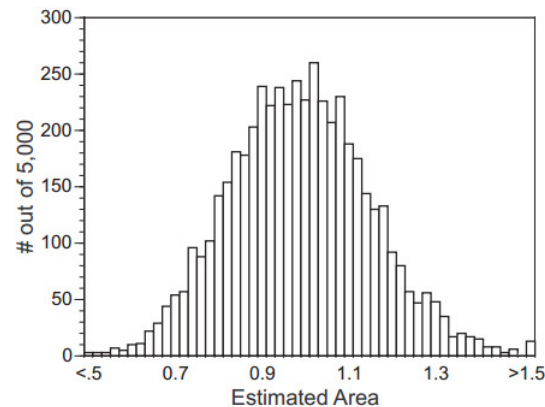
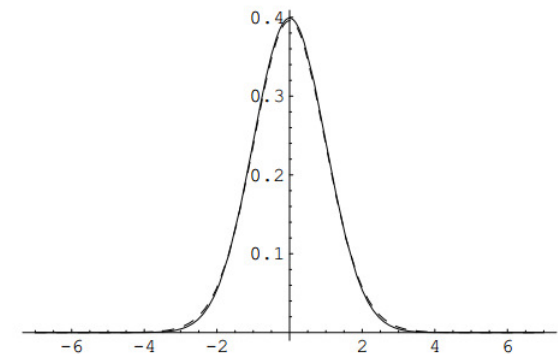
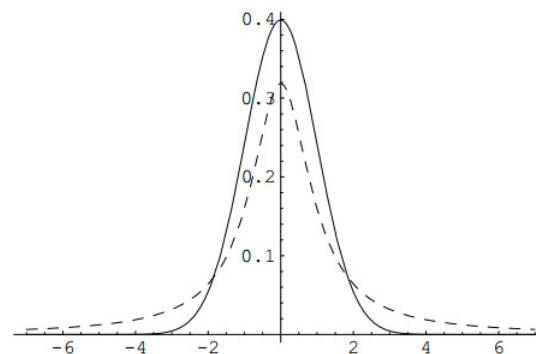
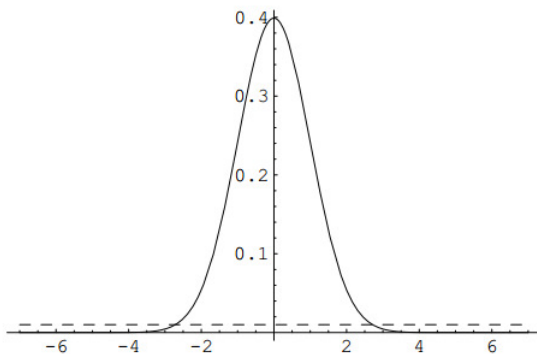
$$F_N = \frac{1}{N} \sum_{i=1}^N \frac{f(X_i)}{p(X_i)} = \frac{1}{N} \sum_{i=1}^N \frac{f(X_i)}{c \cdot f(X_i)} = \frac{1}{c}$$

- **Problem:** Um die Proportionalitätskonstante c zu berechnen, muss das Integral bereits gelöst sein!

$$1 = \int_a^b p(x) dx = \int_a^b c \cdot f(x) dx \Rightarrow \frac{1}{c} = \int_a^b f(x) dx$$

Abtaststrategie

- Idee: Wähle PDF $p(x)$ “so ähnlich wie möglich” zu $f(x)$!
- Importance Sampling



Abtaststrategie:

- **Im Folgenden:** Verfahren zur Erzeugung von Zufallszahlen, die einer gegebenen PDF folgen
 - Inversionsmethode
 - Verwerfungsmethode (rejection sampling)

Inversionsmethode

- CDF

$$P_x(X) = \int_{-\infty}^X p(x)dx$$

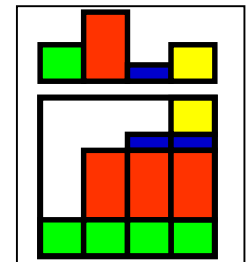
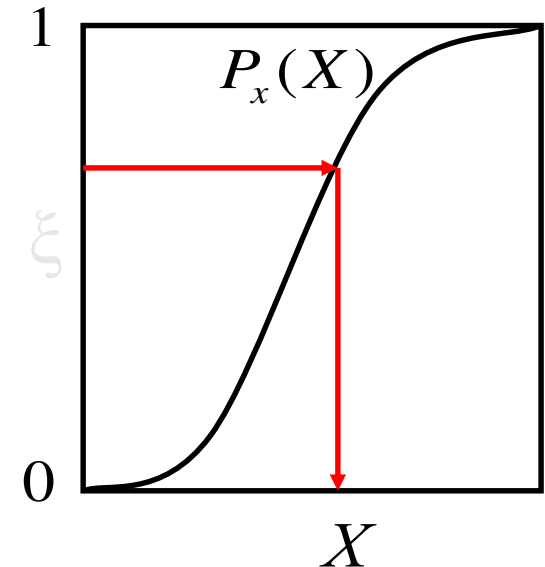
- Konstruktion von Samples

- Für eine gleichverteilte Zufallsvariable ξ

$$P_x^{-1}(\xi) = X$$

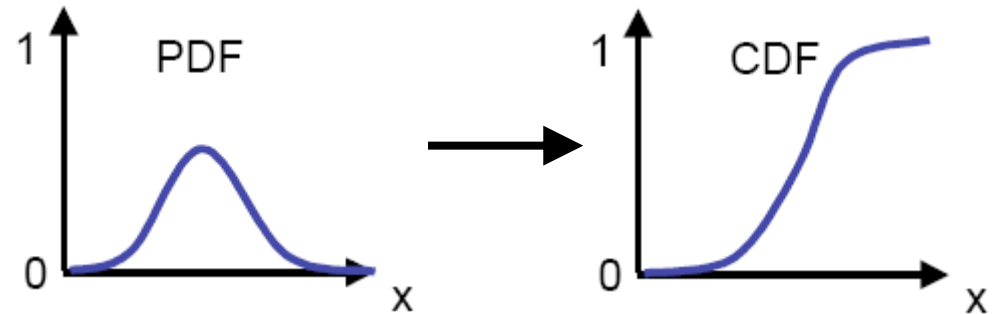
- Voraussetzungen

1. Integral von $p(x)$ ist bekannt
2. P_x^{-1} monoton und bekannt

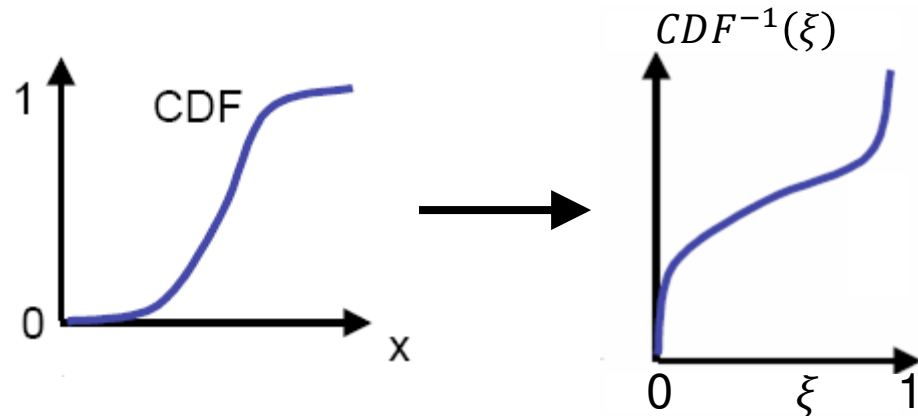


Zusammenfassung Inversionsmethode

- Berechne CDF



- Invertiere CDF



- Ziehe Zufallszahl als $CDF^{-1}(\xi)$ (ξ uniform verteilt über $[0,1]$)

Verwerfungsmethode / Rejection Sampling

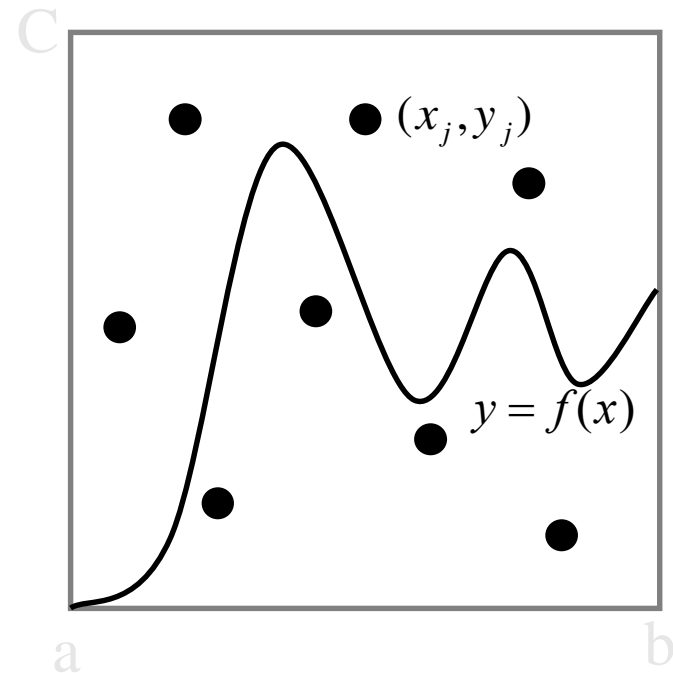
- Problem: Manchmal ist die CDF nicht einfach berechenbar
- Idee: Rejection Sampling

$$I = \int_a^b f(x) dx = \iint_{y < f(x)} dx dy$$

$$A_{\text{Rectangle}} = C \cdot (b - a)$$

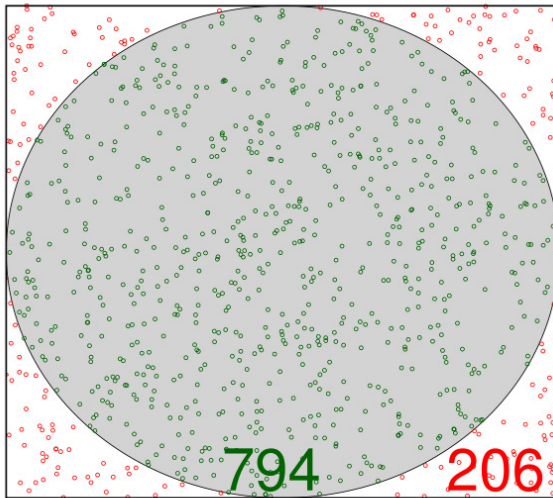
$$I \approx A_{\text{Rectangle}} \cdot \frac{\#\{i : y_i < f(x_i)\}}{\#\{(x_1, y_1), \dots, (x_n, y_n)\}}$$

$$\text{Efficiency} = \frac{I}{A_{\text{Rectangle}}}$$



Rejection Sampling

- Beispiel: Bestimmung von π
- Berechnung der Kreisfläche im Einheitskreis



$$\frac{\pi}{4} = 0.7854... \approx \frac{794}{794 + 206} = 0.794$$

- Effizienz: $\pi/4$

Importance Sampling (IS)

- **Erinnerung:** Gute Wahl der PDF kann die Varianz bei MC-Schätzung erheblich reduzieren.

$$\int_a^b f(x)dx = E_p[F_N]; \quad F_N = \frac{1}{N} \sum_{i=1}^N \frac{f(X_i)}{p(X_i)}$$

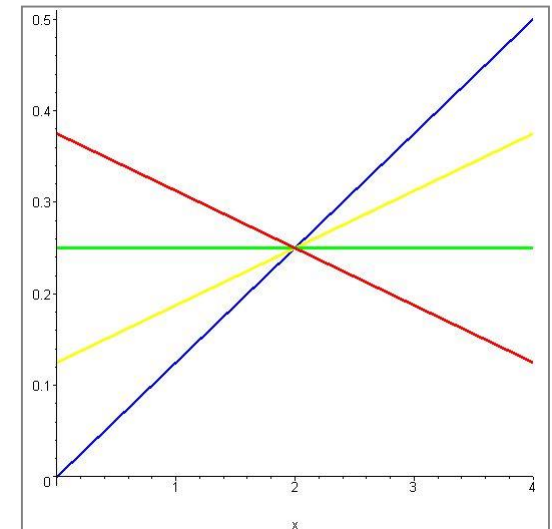
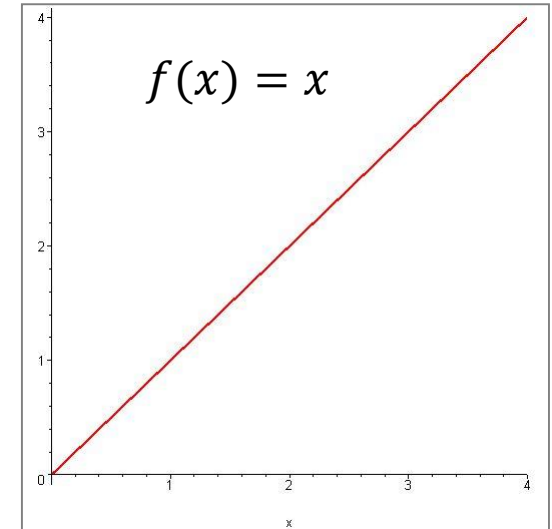
- Grundidee beim Importance Sampling: Wähle p so ähnlich zu f wie möglich.
 - Abtastung des Integrationsbereich gemäß des Wertes im Integranden: „großer Beitrag = mehr Samples“
 - Schnellere Konvergenz

Importance Sampling

- Beispiel:
 - Berechne Integral von $f(x) = x$ mittels MC-Integration mit Importance Sampling:

$$I = \int_0^4 x dx = 8$$

PDF	Varianz	#Samples für std. dev von 0.008
$(6-x)/16$	$56.8/N$	887,500
$1/4$	$21.3/N$	332,812
$(x+2)/16$	$6.4/N$	98,432
$x/8$	0	1



Irradianz-Schätzer – Cosinus-Sampling

- Zu schätzendes Integral:

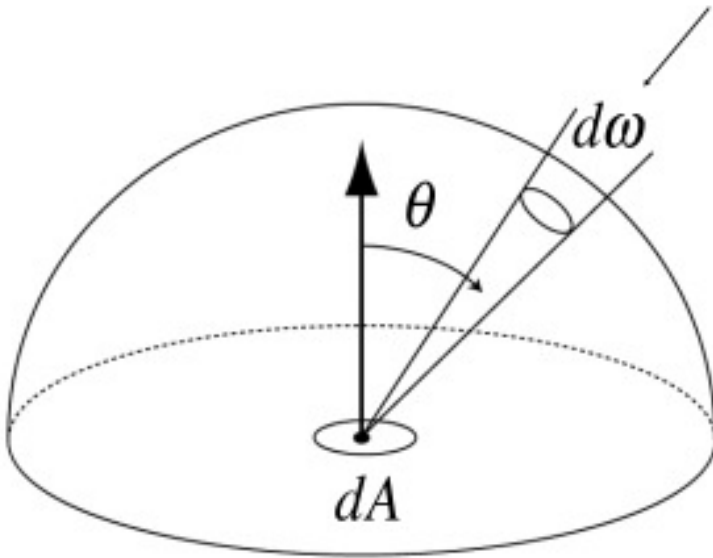
$$E(\mathbf{x}) = \int_{H(\mathbf{x})} L_i(\mathbf{x}, \omega_i) \cdot \cos \theta_i \, d\omega_i$$

- PDF für cosinus-gewichtetes Sampling:

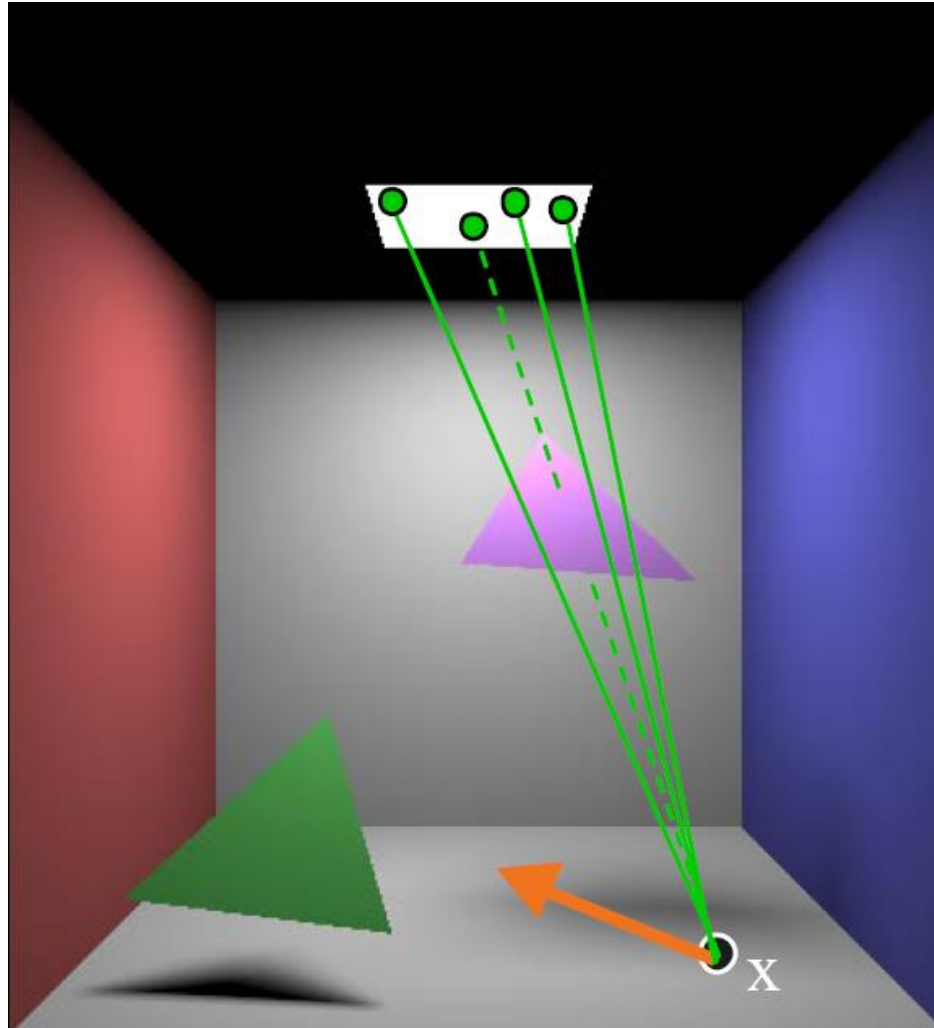
$$p(\omega) = \frac{\cos \theta}{\pi}$$

- Schätzer:

$$\begin{aligned} F_N &= \frac{1}{N} \sum_{k=1}^N \frac{f(\omega_{i,k})}{p(\omega_{i,k})} \\ &= \frac{\pi}{N} \sum_{k=1}^N L_i(\mathbf{x}, \omega_{i,k}) \end{aligned}$$



Irradianz-Schätzung – Abtastung der Lichtquelle




Irradianz-Schätzung – Abtastung der Lichtquelle

- Formuliere das Reflexionsintegral um (Substitution):

$$\begin{aligned} E(\mathbf{x}) &= \int_{H(\mathbf{x})} L_i(\mathbf{x}, \omega_i) \cdot \cos \theta_i \, d\omega_i \\ &= \int_A L_e(\mathbf{y} \rightarrow \mathbf{x}) \cdot V(\mathbf{y} \leftrightarrow \mathbf{x}) \cdot \frac{\cos \theta_y \cdot \cos \theta_x}{\|\mathbf{y} - \mathbf{x}\|^2} \, dA \end{aligned}$$

$G(\mathbf{y} \leftrightarrow \mathbf{x})$



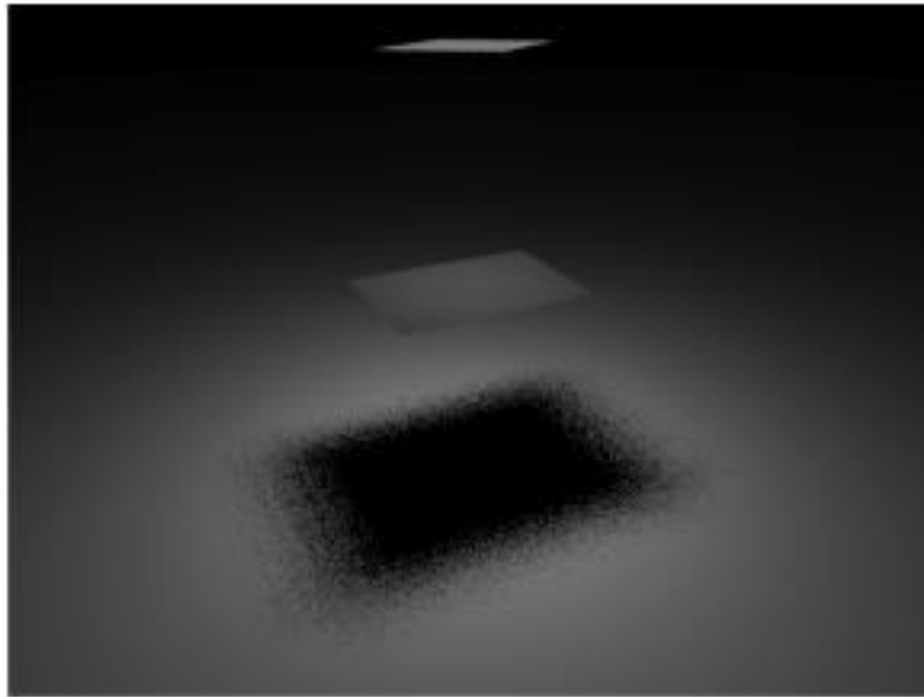
- PDF für uniformes Sampling der Oberfläche:

$$p(\mathbf{y}) = \frac{1}{|A|}$$

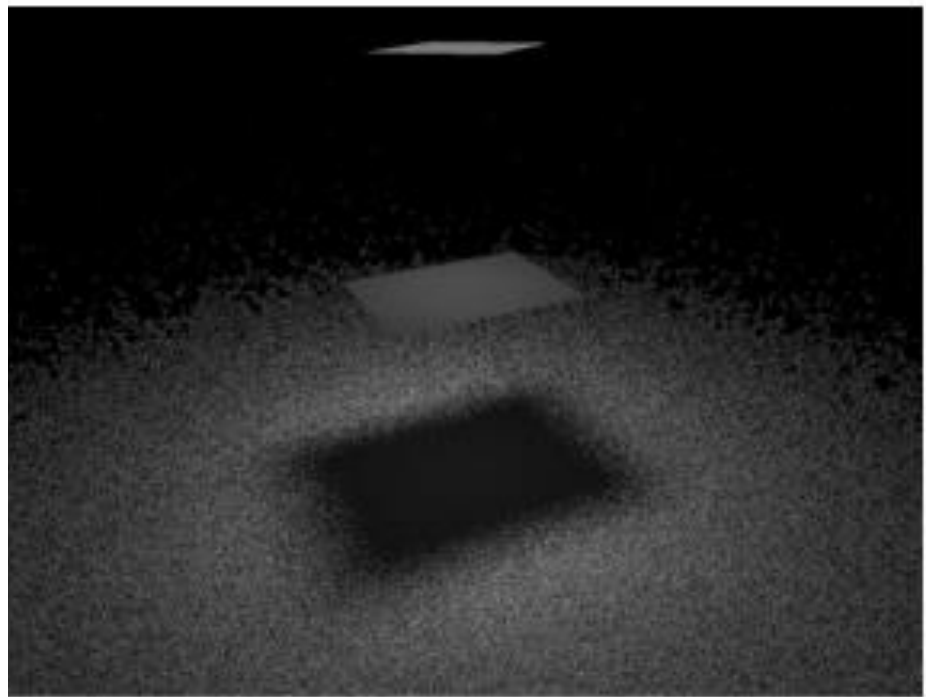
- **Schätzer**

$$F_N = \frac{|A|}{N} \sum_{k=1}^N L_e(\mathbf{y}_k \rightarrow \mathbf{x}) \cdot V(\mathbf{y}_k \leftrightarrow \mathbf{x}) \cdot G(\mathbf{y}_k \leftrightarrow \mathbf{x})$$

Light source vs. cosine sampling



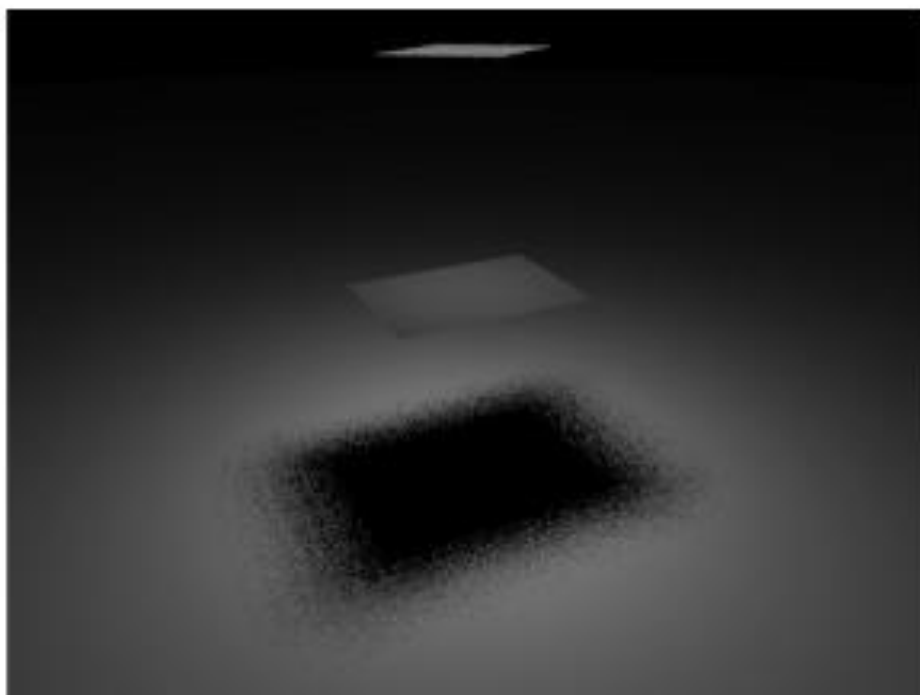
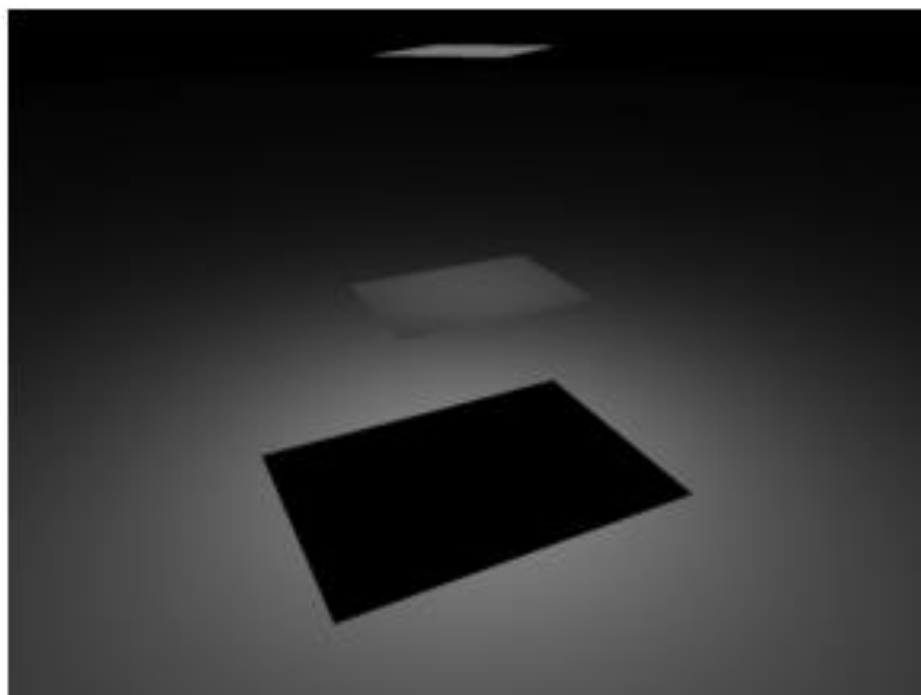
Light source **area sampling**



Cosine-proportional sampling

Images: Pat Hanrahan

Example – Area Sampling

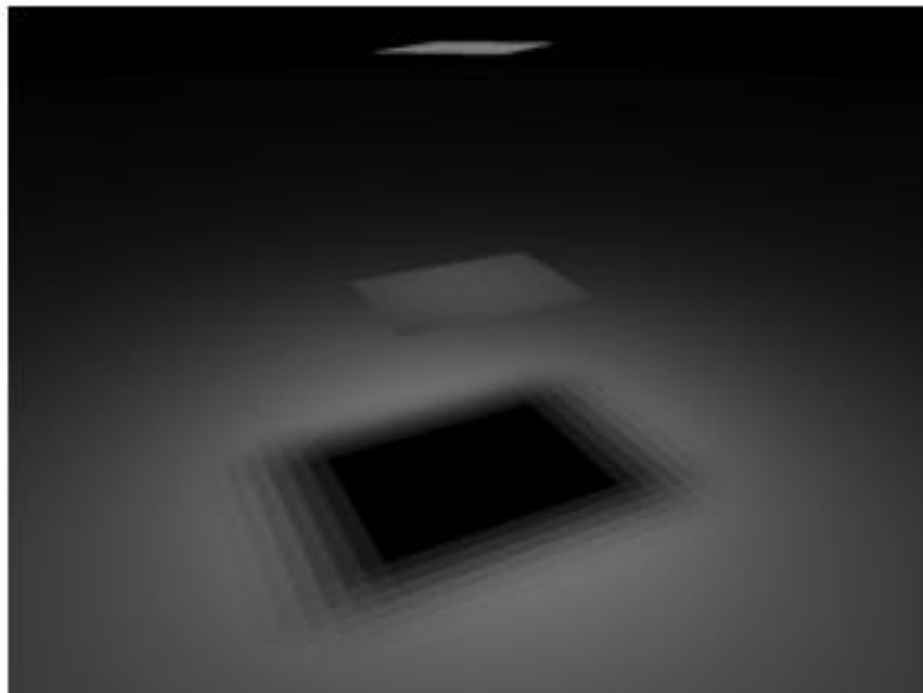


1 shadow ray per eye ray

Center

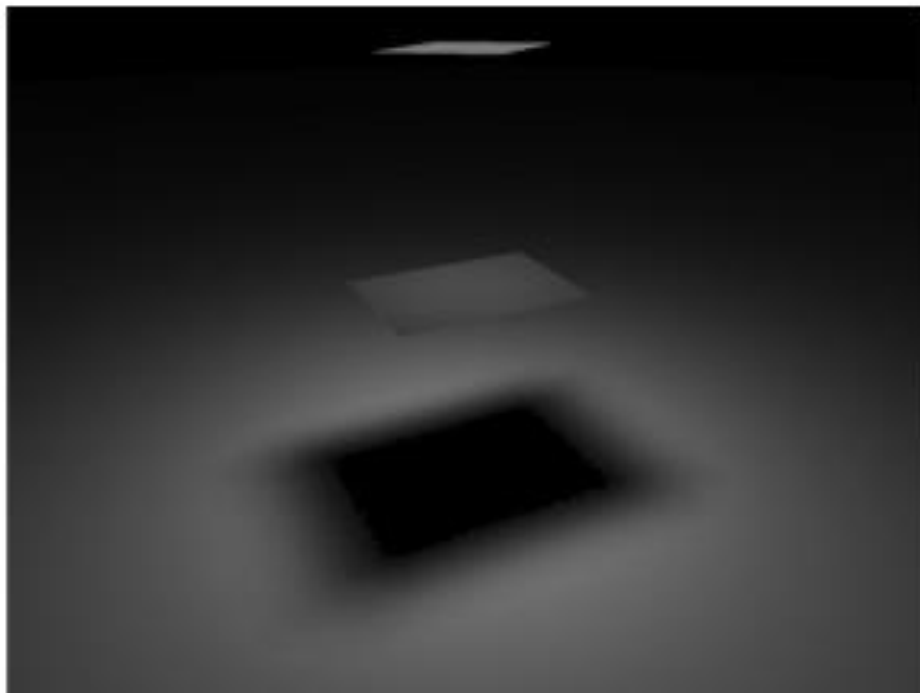
Random

Example – Area Sampling



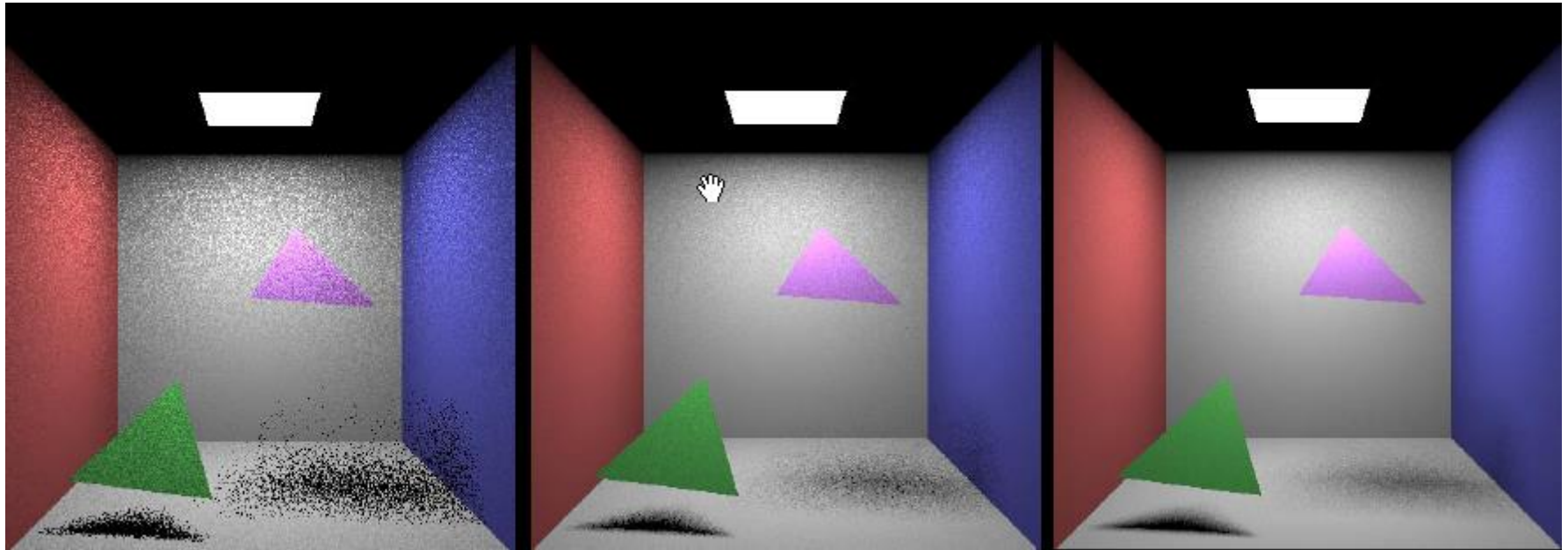
16 shadow rays per eye ray

Uniform grid



Stratified random

Area light sources



1 sample per pixel

9 samples per pixel

36 samples per pixel

Direkte Beleuchtung auf Oberfläche mit beliebiger BRDF

- Zu schätzendes Integral

$$L_o(\mathbf{x}, \omega_o) = \int_A L_e(\mathbf{y} \rightarrow \mathbf{x}) \cdot f_r(\mathbf{y} \rightarrow \mathbf{x} \rightarrow \omega_o) \cdot V(\mathbf{y} \leftrightarrow \mathbf{x}) \cdot G(\mathbf{y} \leftrightarrow \mathbf{x}) dA$$

- Schätzer basierend auf uniformem Sampling der Lichtquelle

$$F_N = \frac{|A|}{N} \sum_{k=1}^N L_e(\mathbf{y}_k \rightarrow \mathbf{x}) \cdot f_r(\mathbf{y}_k \rightarrow \mathbf{x} \rightarrow \omega_o) \cdot V(\mathbf{y}_k \leftrightarrow \mathbf{x}) \cdot G(\mathbf{y}_k \leftrightarrow \mathbf{x})$$